

ارزیابی روش‌های خوشبندی MRGC,AHC در تعیین رخساره‌های رسوبی

سعید کشاورز^۱، احمد ادیب^۲

گروه مهندسی نفت، دانشگاه آزاد اسلامی واحد تهران جنوب، تهران، ایران

چکیده

در این تحقیق روش خوشبندی MRGC به عنوان روش پایه انتخاب و خروجی آن با روش خوشبندی سلسله مرتبی (AHC) مقایسه گردید. با تفکیک خواص پتروفیزیکی سنگها در یک چاه از میدان مارون، ۷ رخساره الکتریکی تعیین و امکان مشخص کردن تیپ سنگها در چاههای A,B,C,D را که فاقد مغذه مناسب بودند بر مبنای اطلاعات چاه A، فراهم گردید. رخساره‌های الکتریکی توسط روش خوشبندی MRGC با استفاده از لاگهای GR، DT، RHOB و NPHI بر اساس کیفیت مخزنی از خوب به بد بر روی سازند آسماری در بخش مخزنی میدان مارون انجام گرفت. بر اساس لاگ گاما (CGR) مقدار شیل در چاههای A تا C بسیار ناچیز و مخزن آسماری بسیار تمیز می‌باشد. مقدار شیل در چاه D تا حدودی افزایش یافته و لاگ CGR این افزایش را به وضوح نمایش داده است. روش (MRGC) این تفکیک را بهتر از سایر روشها نشان می‌دهد.

واژه‌های کلیدی: رخساره الکتریکی، خوشبندی MRGC، خوشبندی سلسله مرتبی (AHC)

Comparison of MRGC, AHC clustering methods for determination of sedimentary facies

Saeid Keshavarz, Ahamed Adib

Department of Petroleum Engineering, South Tehran Branch, Islamic Azad University, Tehran, Iran

Abstract

In this research, The MRGC clustering method was selected as the basis of the method and its output was compared with the hierarchical clustering (AHC) using the software of the Geolog 7 version. By separating the petrophysical properties of rocks in wells A, B, C, D from the Marun oil field, seven electric facies were determined and the possibility of determining the type of rocks in wells B, C, D, which lacked proper cores, was provided on the basis of well information A. The electric facies by clustering method (MRGC) using GR, DT, RHOB and NPHI layers based on good to bad reservoir quality on Asmari Formation, which is the main reservoir of Marun oil field. Based on gamma logs (CGR), the amount of shale in wells A to C is very small and the Asmari reservoir is very clean. The amount of shale in the well D has increased somewhat, and the CGR log shows this increase clearly. The method (MRGC) illustrates this separation better than other methods.

Key Words: Electrical facies, MRGC clustering, ascending hierarchical clustering (AHC)

۱- مقدمه

تشخیص رخساره‌های سنگ مخزن، کار اساسی و پیچیده در تشریح مشخصات مخازن نفتی است (Selley, 1996). نوع و توزیع رخساره بر اساس فرگشت رسوب گذاری تعیین و تحت تاثیر دیاژنز و زمین ساخت قرار می‌گیرد (Mathis, 2003). رایج ترین و دقیق ترین روش تعیین رخساره‌های سنگی، استفاده از مغذه گیری است، مغذه گیری به سبب گران بودن و عدم بازیابی کامل، بیشتر در حوالی چاه انجام می‌گیرد (Brun and jolley, 2011) برای حل این مشکل، نیاز به روشنی است که ارزان تر از مغذه گیری بوده و دقت و تفکیک پذیری رخساره‌های سنگی را تا حد مناسبی مشابه مغذه برای چاههایی که مغذه ندارند، ایجاد کند. (Kelkar, 2007) نگاره‌های چاه پیمایی که ترکیب کانی شناسی، بافت، ساختهای رسوبی، تخلخل و تراوایی را نشان می‌دهند. یک روش مناسب برای پاسخ به این نیاز است (Serra, 1986).

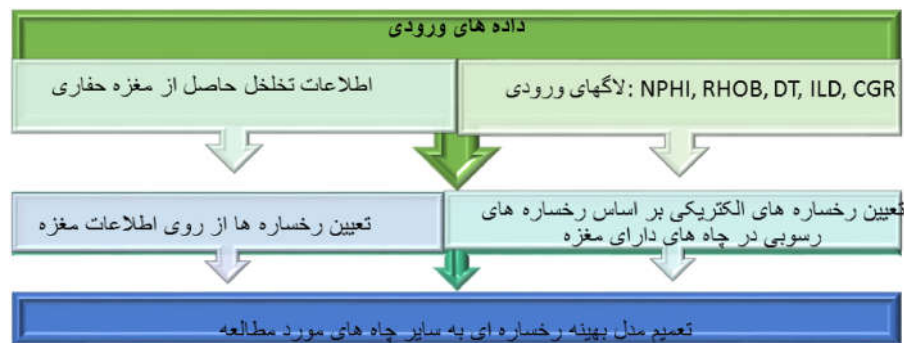
روش MRGC برای مطالعه و تحلیل خوشبندی داده‌های حاصل از چاه نگارها و مغذه‌های حفاری مناسب است. (Moghaddas et al., 2017) مزیت‌های این روش در: قابلیت شناسایی گروه مربوط با رخساره‌های زمین شناسی، عدم نیاز به داشتن دانش اولیه از مجموعه داده‌ها، قابلیت کار با داده‌های حقیقی مشتمل از دسته داده‌های با ترکیب پیچیده، کم بودن پارامترها و عدم حساسیت به تغییرات آن‌ها، پایدار بودن نتیجه با تغییر مقدار پارامترها، داشتن محدودیت در تعداد ابعاد نقاط و خوشبندی تعداد بھینه خوشبندی خالص ناظر است. (Ye and Rabiller, 2000)

در خوش سازی سلسله مراتبی (AHC) از درخت خوش استفاده می شود و یک سلسله خوش از خوش های کوچکتر با محتوای داده ای خیلی شبیه به هم برای تولید خوش های بزرگتر که حاوی محتوای داده با بیشترین اختلاف می باشند را از هم تفکیک می کند. (Chandra et al., 2015)

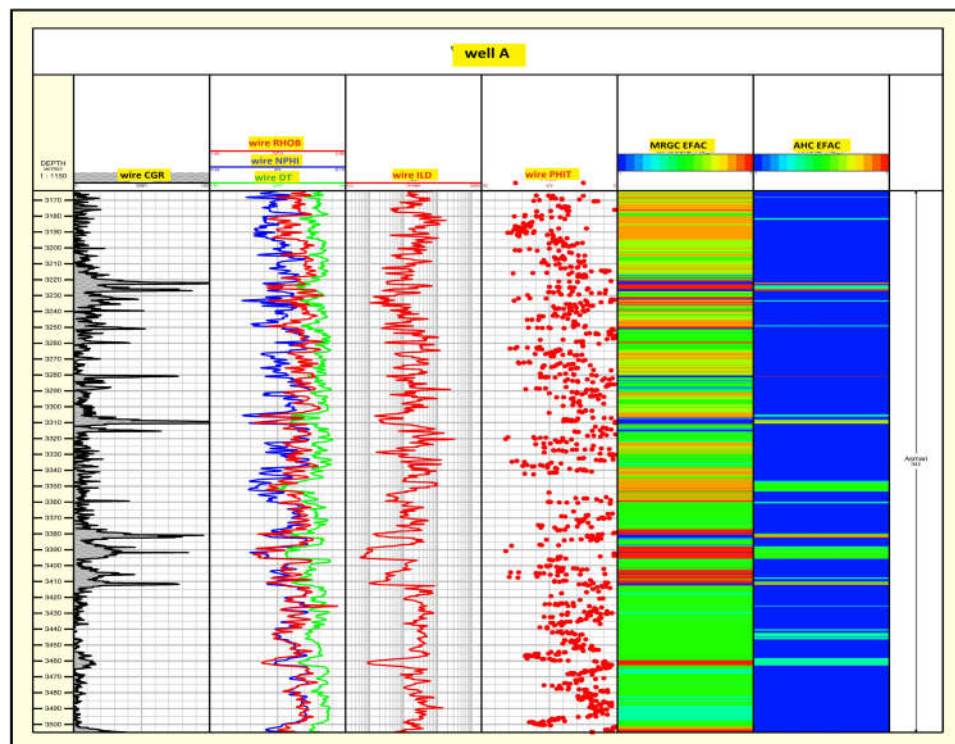
۲- روش کار

در این تحقیق برای شناسایی گونه های سنگی در طول چاه و تعیین روش مناسب خوش بندی برای دسته بندی داده های چاه پیمایی مراحل زیر انجام شد (شکل ۱):

گرداوری داده های خام تخلخل حاصل از مغزه و داده لاغ های سر چاهی بررسی داده های تخلخل مغزه به منظور بدست آوردن تعداد بهینه رخساره ها تعیین و معرفی داده ها در محیط نرم افزار ژیولاگ استفاده از روش های خوش سازی (AHC ، MRGC) و مقایسه آنها با همدیگر به منظور شناسایی بهترین روش و تعمیم مدل بهینه شده برای چاه های فاقد مغزه حفاری.



شکل (۱) روند تحلیل داده ها بر اساس الگوی انتخابی



شکل (۲). نمایش گرافیکی لاغ ها به همراه دو روش AHC و MRGC

٤ - نتائج

برای سنجش میزان دقت و کارایی، این سه روش بر روی داده‌ها اجرا و نتیجه کار با هم مقایسه شد، روش MRGC نتایج دقیقتر و منطقی‌تری را نسبت به دو روش دیگر ارائه کرد. این روش در برابر تغییرات اساسی نمودارهای پتووفیزیکی که نشان دهنده افزایش یا کاهش کیفیت مخزنی است حساسیت بیشتری داشته و رخساره‌الکتریکی جدآگاههای برای اینتروال‌های مخزنی ساخته است، این مورد در روش‌های دیگر به خصوص در روش AHC دیده نمی‌شود. روش MRGC نسبت به روش AHC، قادر به تعیین تعداد دسته‌ها به صورت خودکار بوده و تعداد بهینه خوشة هارا به کاربر پیشنهاد می‌دهد. شکل(۲) توانی مخزن را بر اساس روش‌های MRGC و AHC نشان می‌دهد. در هر دو روش لایه‌های شیلی به خوبی مشخص شده (با رنگ‌های مختلف در هر روش)، که آن را می‌توان در عمق‌هایی که مقدار نمودار CGR بشتر از ۲۰ واحد شده مشاهده کرد. باید توجه کرد دقت تفکیک این تغییرات در مقیاس‌های بسیار کوچک در این روش‌ها است.

در جدول(۱) میزان همبستگی رخساره‌های ایجاد شده توسط دو روش MRGC و AHC با هم مقایسه شده اند، رخساره شماره یک از روش AHC با رخساره‌های شماره ۴،۵،۶،۳ بدست آمده از روش MRGC دارای همبستگی بالایی می‌باشد و این همبستگی نشان می‌دهد که رخساره‌های بدست آمده از روش AHC دقت و تفکیک خوبی ندارد.

جدول(۱). میزان همبستگی رخساره های بدست آمده از دو روش AHC و MRGC

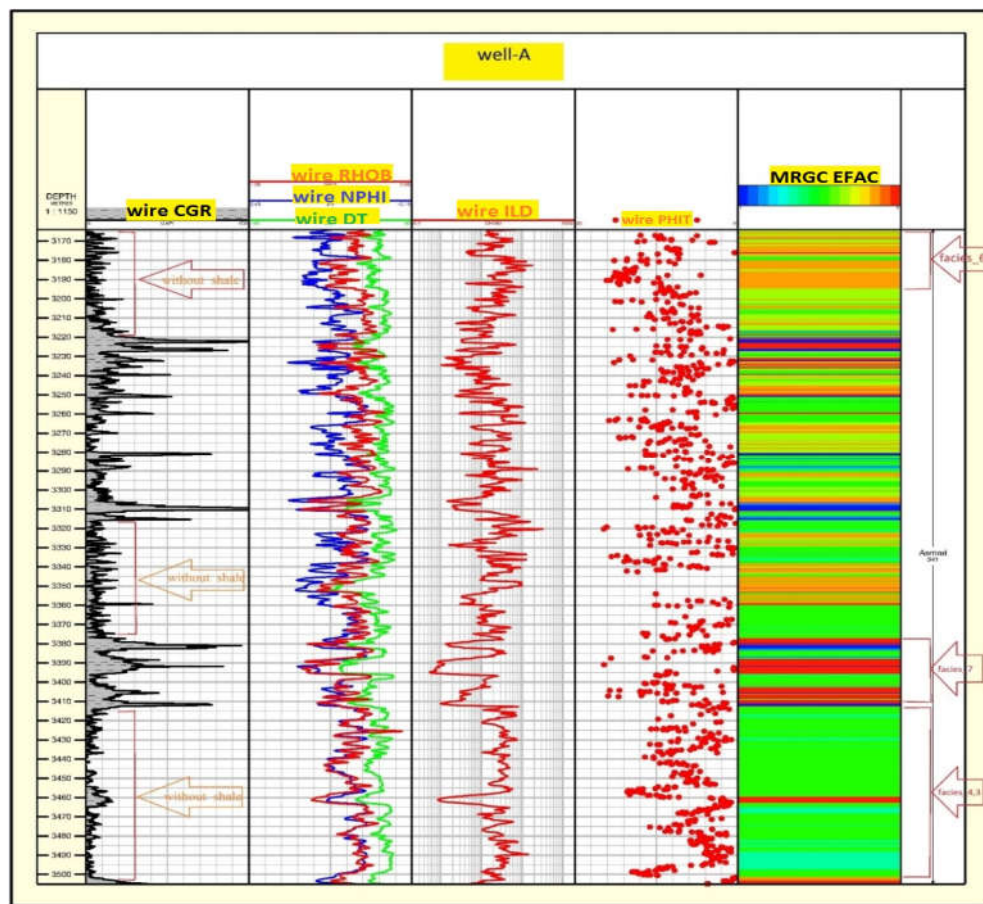
روش MRGC									
مجموع	رخساره-۷	رخساره-۶	رخساره-۵	رخساره-۴	رخساره-۳	رخساره-۲	رخساره-۱		
۶۹۳	۳۸	۱۰۳	۱۲۰	۳۲۰	۶۸	۲۶	۱۸	۱	رخساره-۱
۲				۱	۱				رخساره-۲
۴۲	۲۳	۵		۱۳			۱		رخساره-۳
۱۱	۱۱								رخساره-۴
۲							۲		رخساره-۵
۹							۹		رخساره-۶
۲							۲		رخساره-۷
۷۶۱	۷۲	۱۰۸	۱۲۰	۳۳۴	۶۹	۲۶	۳۲	۱	مجموع

جدول(۲) خوش بندی حاصل شده از روش AHC را نشان می دهد. وجود شباهت خیلی زیاد در میزان تخلخل مغزه در خسارت ۱ و ۲ و ضعف این خوش بندی را می ساند.

حدوای (۲). خسارت‌های ایجاد شده به وسیله

ردیف	رخساره	وزن	CGR	DT	RHOB	NPHI	تخلخل معزه
۱	۱	۶۹۳	۸۷۷	۵۸۶۹	۲.۷۲	۰.۱	۱۰۰۹
۲	۲	۲	۳۸۹	۵۴۲۸	۲.۸۸	۰.۱۱	۱۰۷۶
۳	۳	۴۲	۱۳۲۸	۷۱۰۳	۲.۴۲	۰.۱۶	۹۸۳
۴	۴	۱۱	۲۸۵۶	۸۱۰۴	۲.۳۴	۰.۱۹	۶۳۴
۵	۵	۲	۱۱۲۹۵	۸۰۴۱	۲.۲۳	۰.۲۵	۰۰۲
۶	۶	۹	۷۷۹۹	۷۳۶۸۷	۲.۴۸	۰.۱۹	۷۹۲
۷	۷	۲	۷۷۴۲	۷۱۸۹	۲.۷۱	۰.۱۸	۴۷۲

با توجه به لگ چاه (شکل ۳)، محدوده بسیار زیادی از مخزن دارای API 20 و نشان دهنده تمیز بودن این چاه است. وجود لایه های آهکی و دولومیتی در چاه فوق نشان دهنده کیفیت خوب چاه است در نمودار های بدست امده توسط MRGC، لایه ها دارای کثافت بالا در تمام اعمما به خوب نشان دهنده این موضع می باشد.



شکل (۳) گرافیک لاغ چاه شاره A به روش MRGC

References:

- Brun, L. C. and Jolley, G. J. (2011) 'Increasing Stakeholder Participation in Industry Cluster Identification', *Economic Development Quarterly*, 25(3), pp. 211–220. doi: 10.1177/0891242411409208.
- Kelkar, M. (2007) *Exploitation and Optimization of Reservoir Performance in Hunton Formation, Oklahoma FINAL TECHNICAL REPORT*, Energy. The University of Tulsa (US). Available at: <http://www.tucrs.utulsa.edu/Hunton/Reports/15125R15.pdf>.
- Mathis, B., Leduc, J. P. and Vandebroeck, T. (2003) 'From the Geologists' Eyes to Synthetic Core Descriptions: Geological Log Modeling Using Well-Log Data', *Discovery*. Available at: <http://www.searchanddiscovery.net/documents/2004/mathis/images/mathis.pdf>.
- Hamidreza Moghaddas, Baharam Habibnia, Mohammad Kamal Ghasemalaskari, and Seyed Ali Moallemi (2017) Lithofacies classification based on multiresolution graph-based clustering using image log in South Pars gas field. SEG Technical Program Expanded Abstracts 2017: pp. 3037-3041.
- Selley, R. C. (1996) 'Ancient sedimentary environments and their sub-surface diagnosis', *Geological Magazine*. Cambridge University Press, 134(1), pp. 121–142.
- Serra, O. (1986) 'Information on tectonics: (Deformation of rocks)', *Developments in Petroleum Science*. Elsevier, pp. 575–624. doi: 10.1016/S0376-7361(08)70591-0.
- Ye, S.-J. and Rabiller, P. (2000) 'A new tool for electro-facies analysis: multi-resolution graph-based clustering', in *SPWLA 41st annual logging symposium*. Society of Petrophysicists and Well-Log Analysts.
- Chandra, V. et al. (2015) 'Effective integration of reservoir rock-typing and simulation using near-wellbore upscaling', *Marine and Petroleum Geology*. Elsevier, 67, pp. 307–326. doi: 10.1016/j.marpetgeo.2015.05.005.